

Zeitschrift: Eclogae Geologicae Helvetiae
Herausgeber: Schweizerische Geologische Gesellschaft
Band: 63 (1970)
Heft: 2

Artikel: Über die Gattungen Parengonoceras Spath, Knemiceras Böhm und Neophlycticeras Spath (Ammonoidea) aus den Anden Venezuelas
Autor: [s.n.]
Anhang: Tafeln
DOI: <https://doi.org/10.5169/seals-163874>

Nutzungsbedingungen

Die ETH-Bibliothek ist die Anbieterin der digitalisierten Zeitschriften. Sie besitzt keine Urheberrechte an den Zeitschriften und ist nicht verantwortlich für deren Inhalte. Die Rechte liegen in der Regel bei den Herausgebern beziehungsweise den externen Rechteinhabern. [Siehe Rechtliche Hinweise.](#)

Conditions d'utilisation

L'ETH Library est le fournisseur des revues numérisées. Elle ne détient aucun droit d'auteur sur les revues et n'est pas responsable de leur contenu. En règle générale, les droits sont détenus par les éditeurs ou les détenteurs de droits externes. [Voir Informations légales.](#)

Terms of use

The ETH Library is the provider of the digitised journals. It does not own any copyrights to the journals and is not responsible for their content. The rights usually lie with the publishers or the external rights holders. [See Legal notice.](#)

Download PDF: 16.03.2025

ETH-Bibliothek Zürich, E-Periodica, <https://www.e-periodica.ch>

Tafel I

Fig. 1 a, b *Parengonoceras discoides* n. sp., Holotypus, J 20665, La Aguada, nat. Gr., p. 1032.

Fig. 2 a–c *Parengonoceras discoides* n. sp., Paratypus 1, J 20664, La Aguada; 2 a, b innerer Umgang nat. Gr.; 2 c äusserer Umgang auf $\frac{1}{2}$ verkleinert, p. 1035.

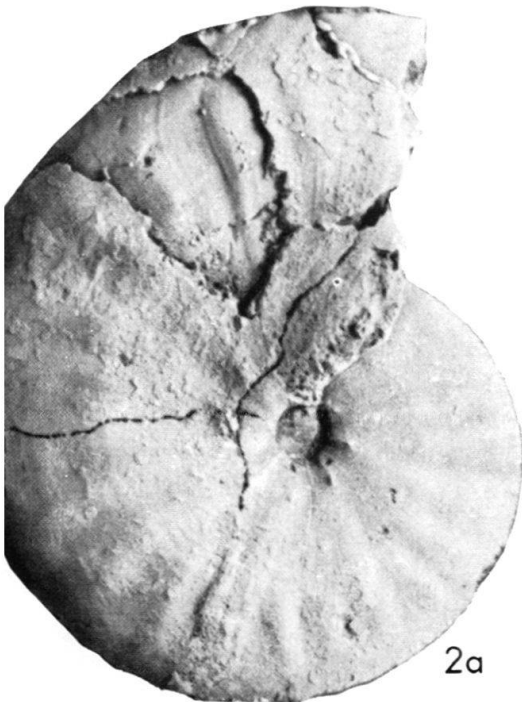
Alle hier abgebildeten Exemplare der Gattungen *Parengonoceras*, *Knemiceras* und *Neophlycticeras* stammen aus der obersten Lage des La Puya-Member.



1a



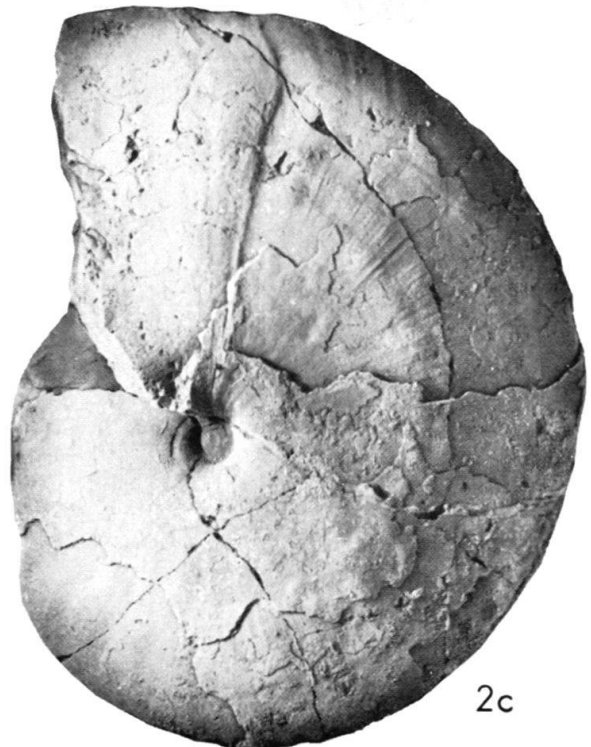
1b



2a



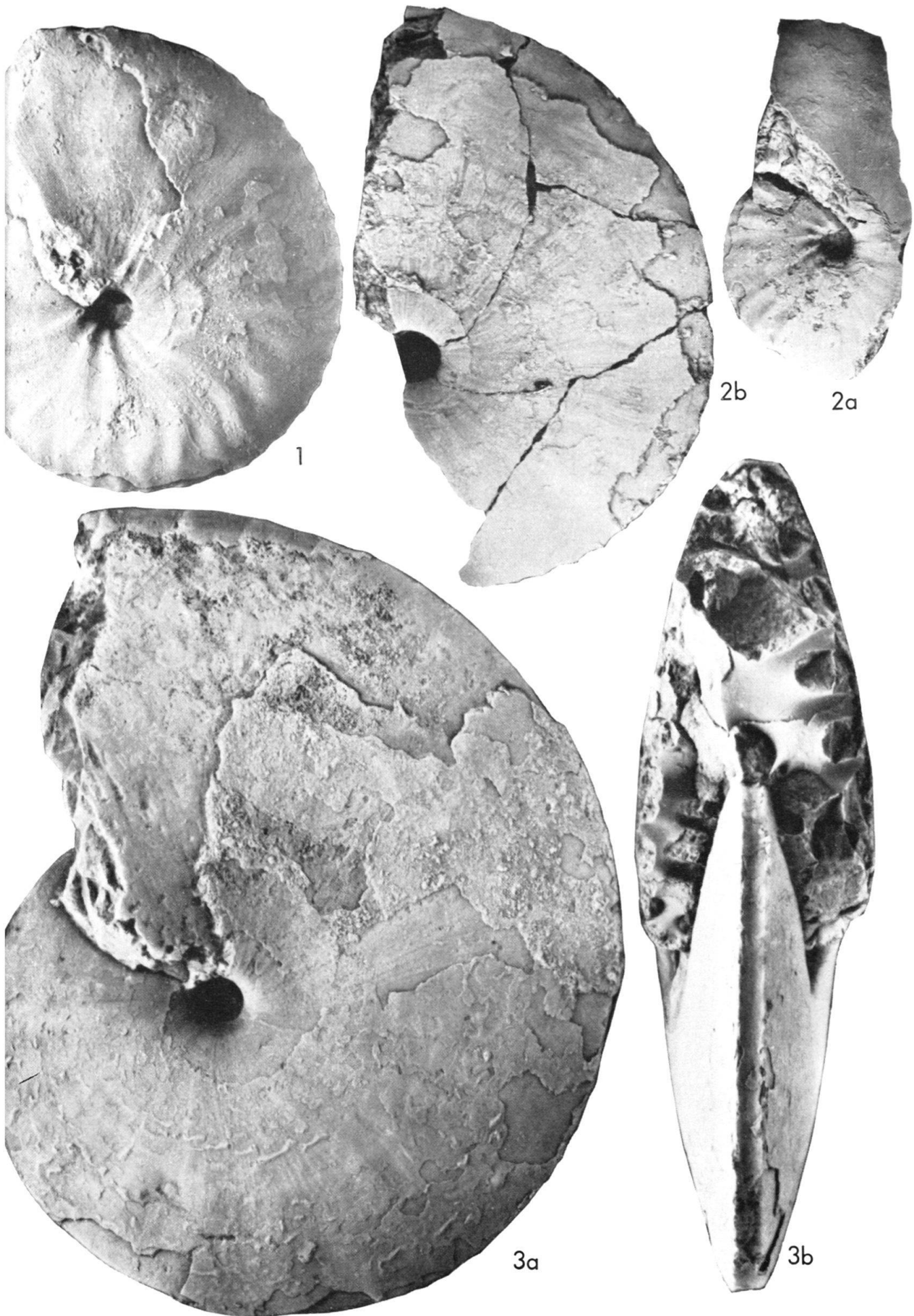
2b



2c

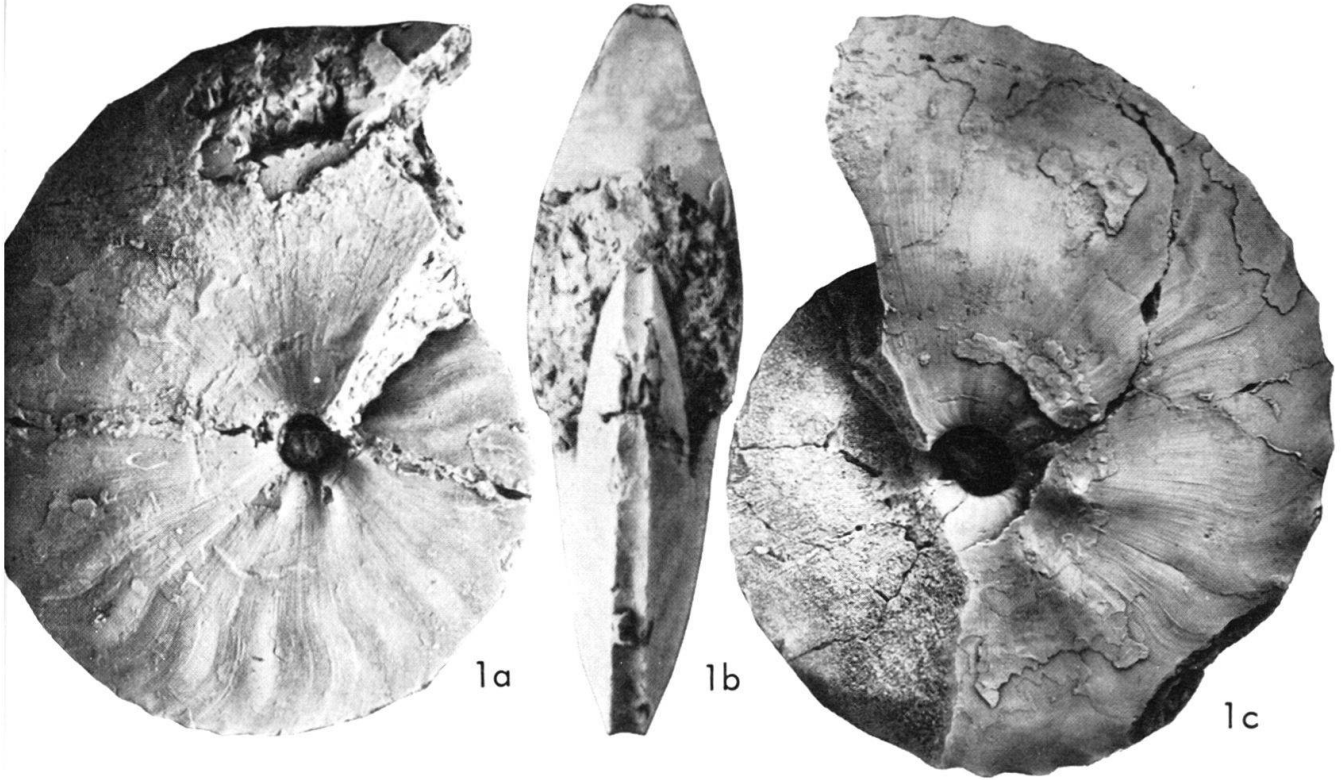
Tafel II

- Fig. 1 *Parengoceras discoides* n. sp., Paratypus 4, J 20663, Häuser Vano, nat. Gr., p. 1035.
- Fig. 2a, b *Parengoceras discoides* n. sp., Paratypus 3, J 20691, Häuser Vano; 2a innerer Umgang; 2b äusserer Umgang, beides nat. Gr., p. 1035.
- Fig. 3a, b *Parengoceras discoides* n. sp., Paratypus 5, J 20689, La Aguada, nat. Gr., p. 1035.



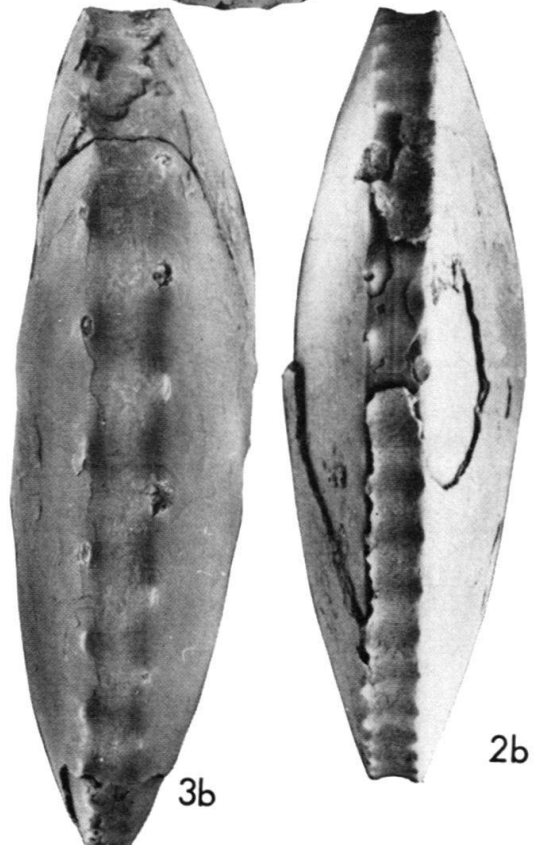
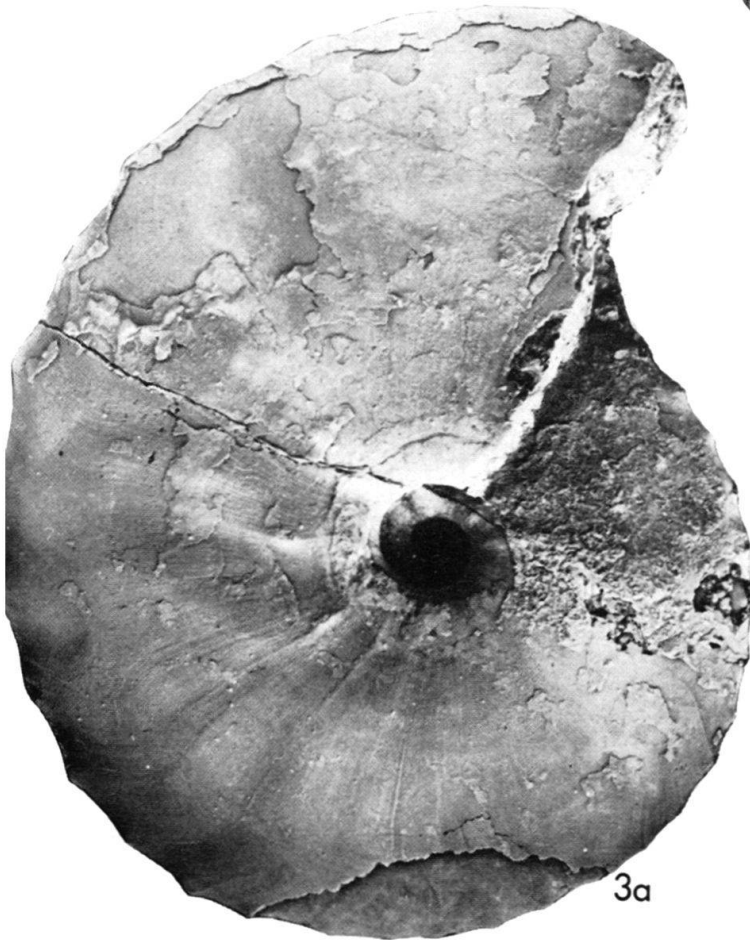
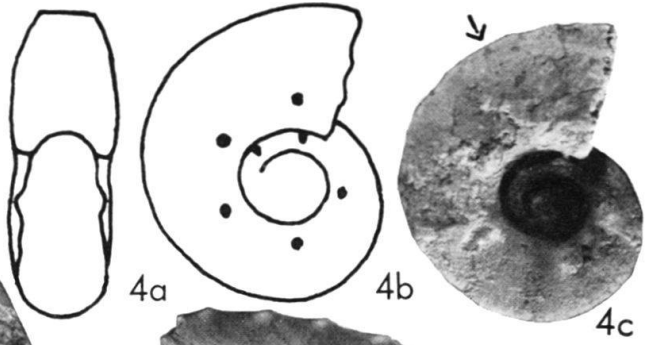
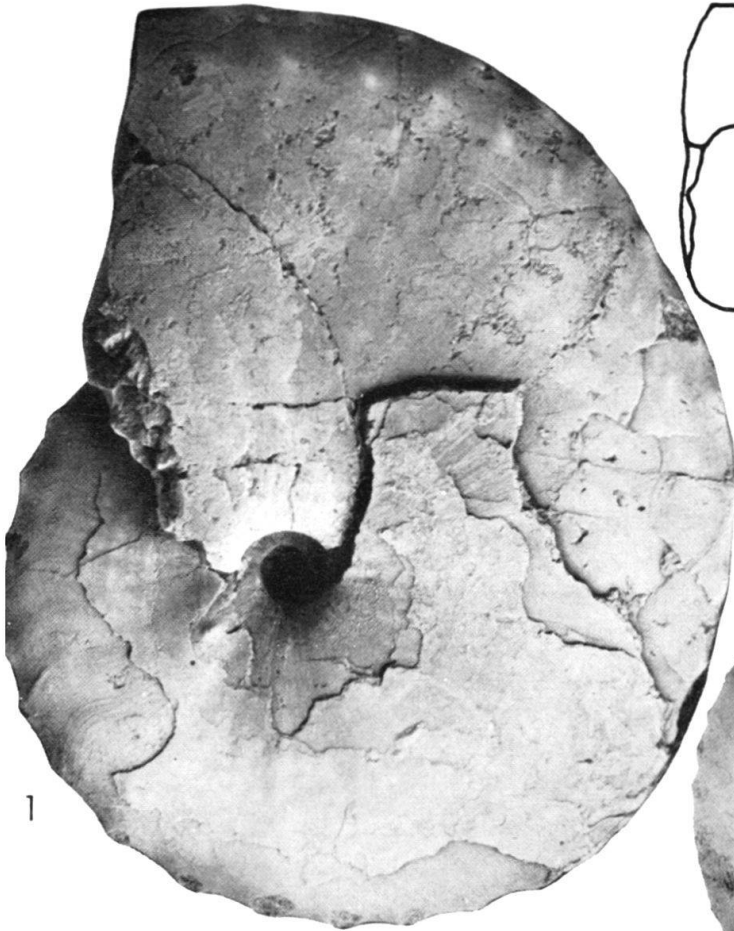
Tafel III

- Fig. 1 a–c *Parengonoceras elegans* n. sp., Paratypus 1, J 20675, Cerro Gordo; 1 a, b innerer Umgang nat. Gr.; 1 c äusserer Umgang auf $\frac{1}{2}$ verkleinert, p. 1036,
- Fig. 2 a, b *Parengonoceras elegans* n. sp., Holotypus, J 20674, La Aguada, auf $\frac{3}{4}$ verkleinert, p. 1036.



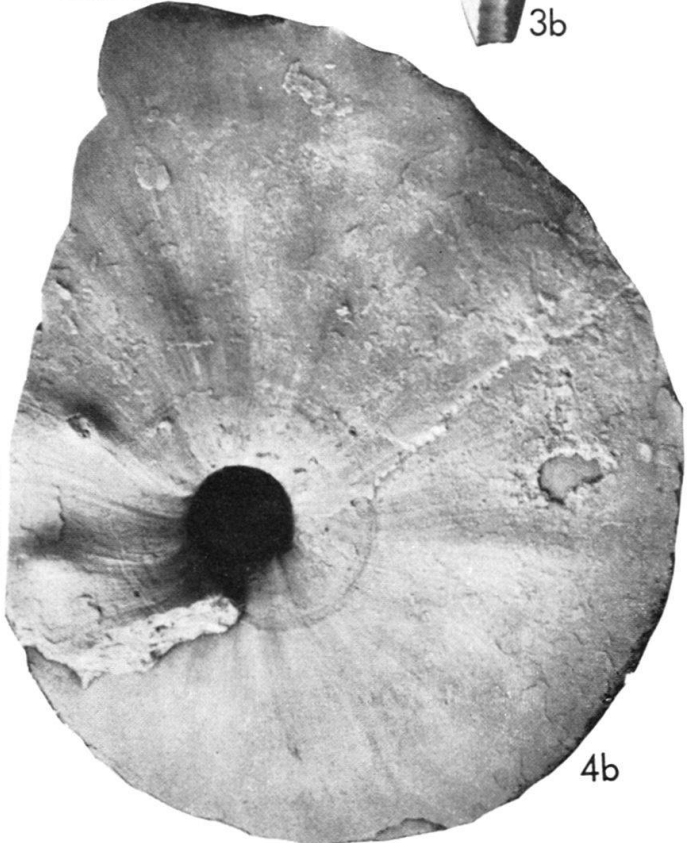
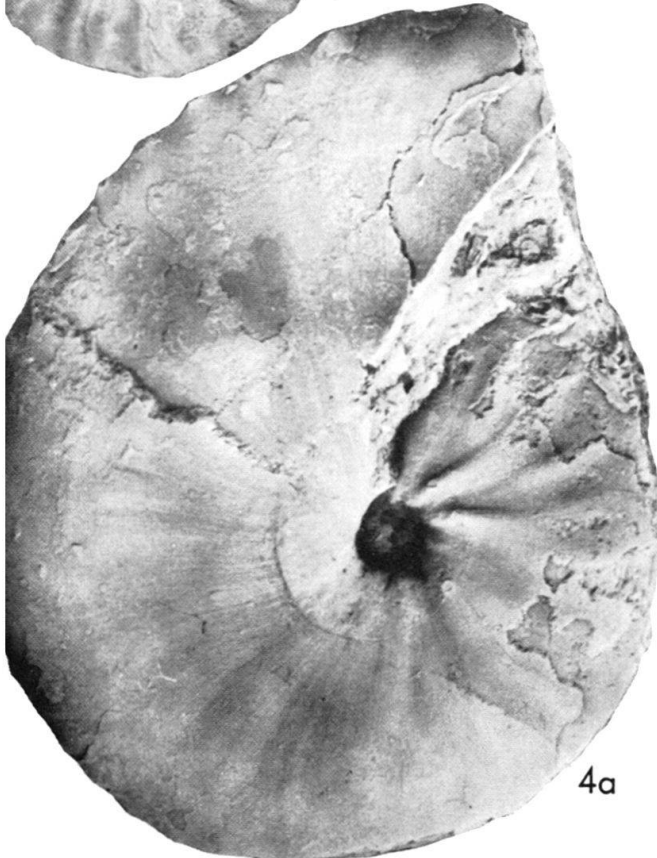
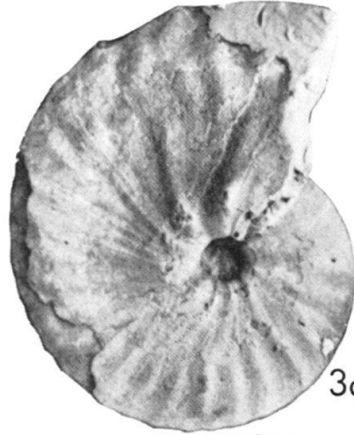
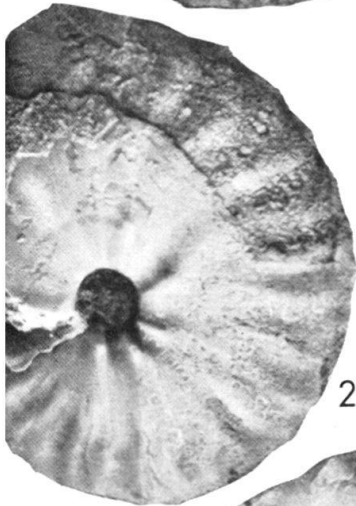
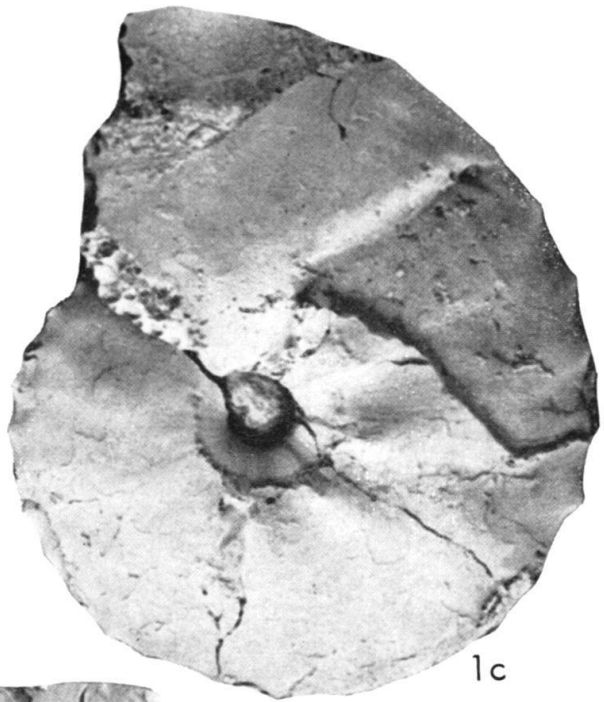
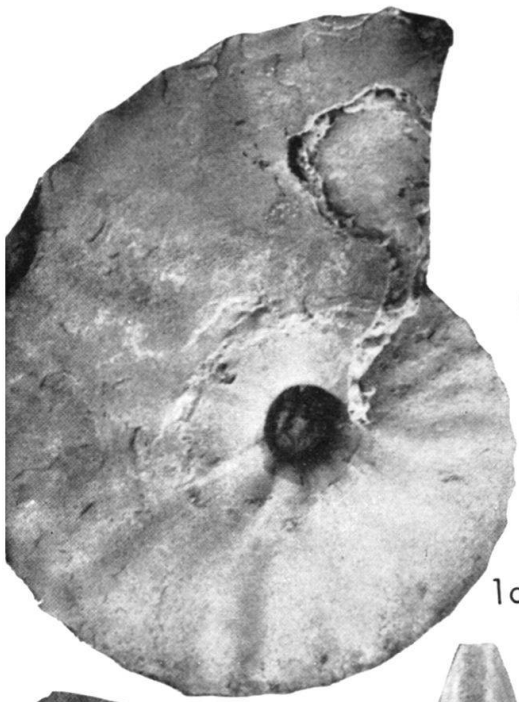
Tafel IV

- Fig. 1 *Parengonoceras elegans* n. sp., Paratypus 2, J 20688, Häuser Vano, sehr grosses Exemplar mit Lateralknoten an der Externseite, auf $1/2$ verkleinert, p. 1038.
- Fig. 2a, b *Parengonoceras discoides* n. sp., Paratypus 2, J 20702, La Leona, besonders breites Exemplar, auf $3/4$ verkleinert, p. 1035.
- Fig. 3a, b *Parengonoceras elegans*, n. sp., Paratypus 3, J 20709, Cerro Gordo, weitnablige Form, auf $3/4$ verkleinert, p. 1038.
- Fig. 4a–c *Parengonoceras duplicatum* n. sp., Paratypus 9, J 20734, Cerro Gordo, Frühstadium. Der Pfeil deutet auf den Übergang von der gerundeten zur abgeplatteten Externseite, $6\times$, p. 1039.



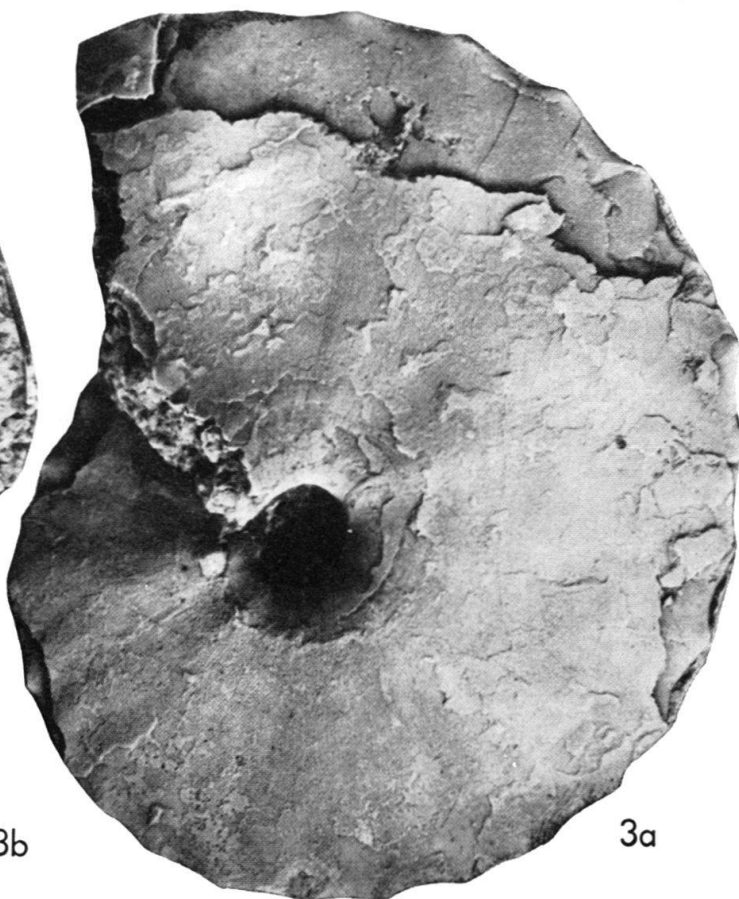
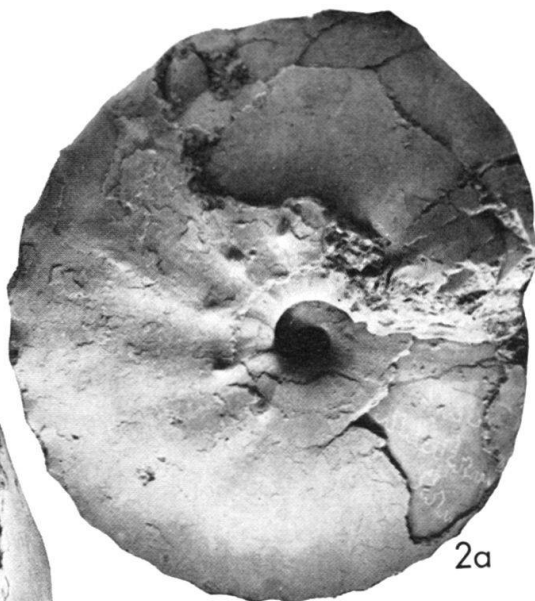
Tafel V

- Fig. 1 a–c *Parengonoceras duplicatum* n. sp., Paratypus 1, J 20682, La Aguada; 1 a, b innerer Umgang nat. Gr.; 1 c äusserer Umgang auf $\frac{1}{2}$ verkleinert, p. 1039.
- Fig. 2 a, b *Parengonoceras duplicatum* n. sp., Paratypus 6, J 20692, Häuser Vano, innerer Umgang, nat. Gr., p. 1041.
- Fig. 3 a, b *Parengonoceras duplicatum* n. sp., Paratypus 7, J 20741, Häuser Vano, innerer Umgang, nat. Gr., p. 1041.
- Fig. 4 a, b *Parengonoceras duplicatum* n. sp., Paratypus 4, J 20706, La Aguada; 4 a Lateral-knoten und Rippen an innerem Umgang; 4 b die Gegenseite mit dem Beginn der zweiten Folge von Lateralknoten, nat. Gr., p. 1041.



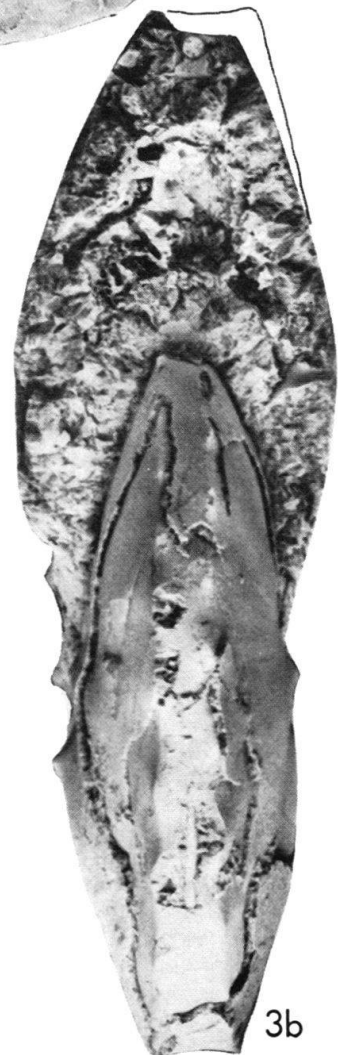
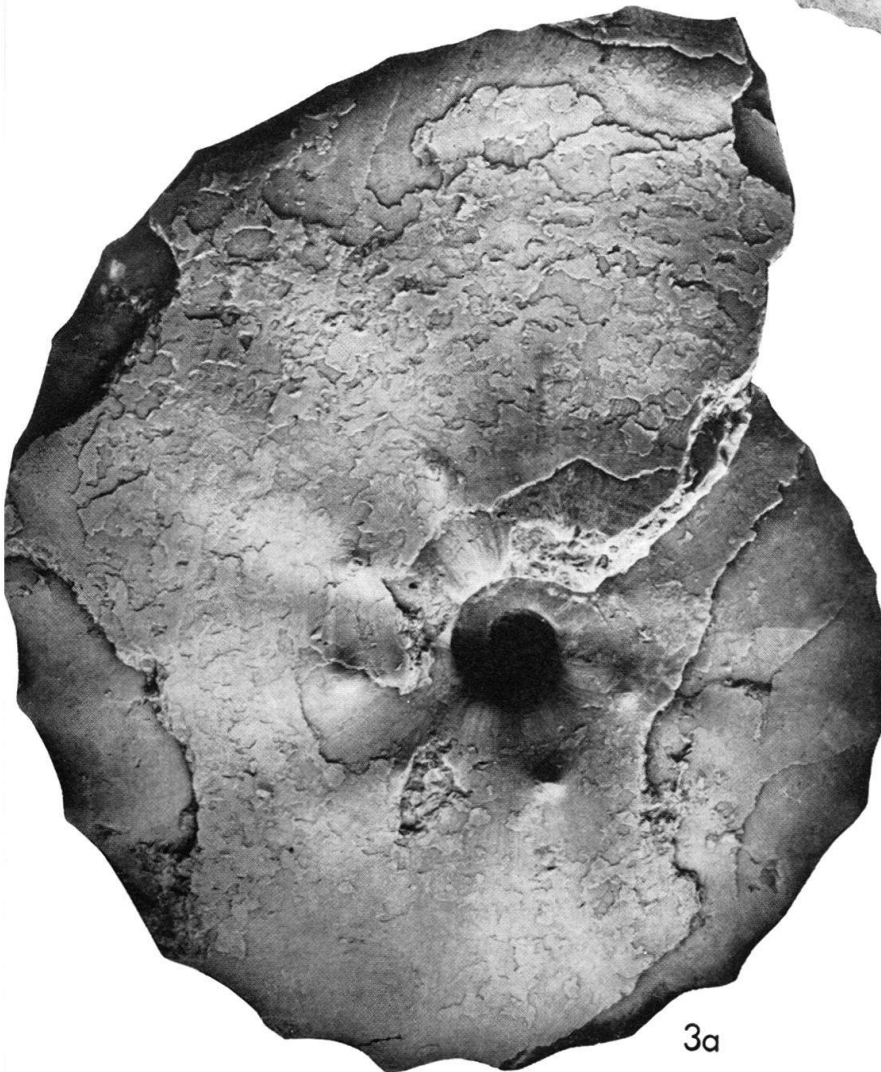
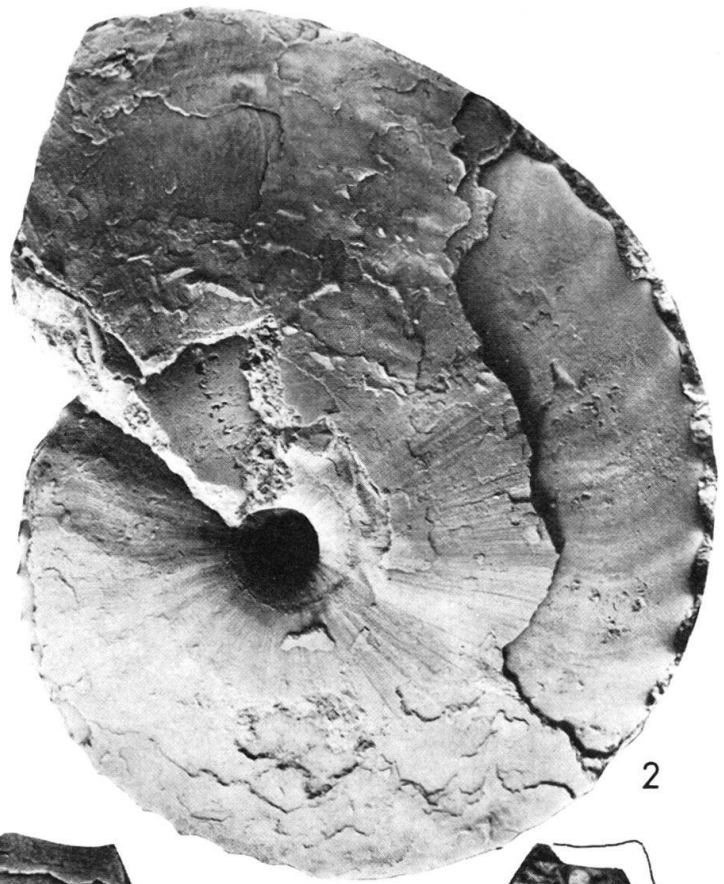
Tafel VI

- Fig. 1 a–c *Parengonoceras duplicatum* n. sp., Paratypus 5, J 20694, Cerro Gordo; 1 a–b äusserer Umgang mit Beginn der zweiten Folge von Lateralknoten; 1 c innerer Umgang mit den hier besonders kleinen Lateralknoten, alle nat. Gr., p. 1041.
- Fig. 2 a, b *Parengonoceras duplicatum* n. sp., Paratypus 3, J 20704, La Aguada, Beginn der äusseren Knotenfolge, auf $\frac{1}{2}$ verkleinert, p. 1041.
- Fig. 3 a, b *Parengonoceras barbacoense* n. sp., Holotypus, J 20685, La Aguada, innerer Umgang (der zugehörige äussere Umgang Taf. 7, Fig. 1), nat. Gr., p. 1041.



Tafel VII

- Fig. 1 *Parengonoceras barbacoense* n. sp., Holotypus, J 20685, La Aguada, äusserer Umgang (der zugehörige innere Umgang Taf. 6, Fig. 3a, b), auf $\frac{1}{2}$ verkleinert, p. 1041.
- Fig. 2 *Parengonoceras barbacoense* n. sp., Paratypus, J 20666, La Aguada auf $\frac{3}{4}$ verkleinert, p. 1041.
- Fig. 3a, b *Parengonoceras duplicatum* n. sp., Holotypus, J 20661, La Aguada, auf $\frac{3}{4}$ verkleinert, p. 1038.



Tafel VIII

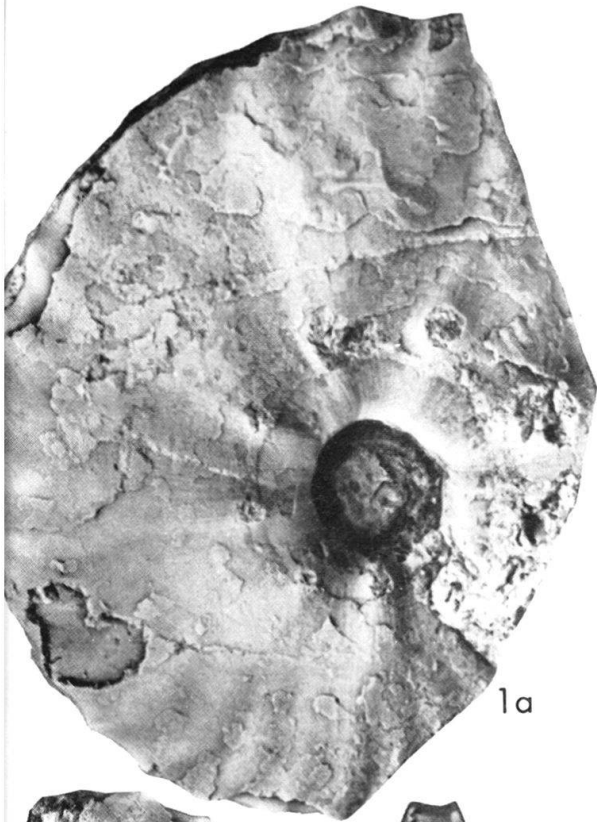
Fig. 1 a, b *Parengonoceras* sp., J 20687, La Aguada, nat. Gr., p. 1045.

Fig. 2 a, b *Parengonoceras duplicatum* n. sp., Paratypus 2, J 20676, Häuser Vano, auf $\frac{3}{4}$ verkleinert, p. 1040.



Tafel IX

- Fig. 1 a, b *Knemiceras* aff. *compressum* HYATT, J 20672, La Aguada, breitere Form, nat. Gr.,
p. 1046.
- Fig. 2 a, b *Knemiceras* aff. *compressum* HYATT, J 20673, La Aguada, Jugendstadium, nat. Gr.
p. 1046.
- Fig. 3 a, b *Knemiceras* aff. *compressum* HYATT, J 20732, La Aguada, schmalere Form, nat. Gr.,
p. 1046.
- Fig. 4 *Knemiceras* aff. *compressum* HYATT, J 20662, Cerro Gordo, nat. Gr., p. 1046.



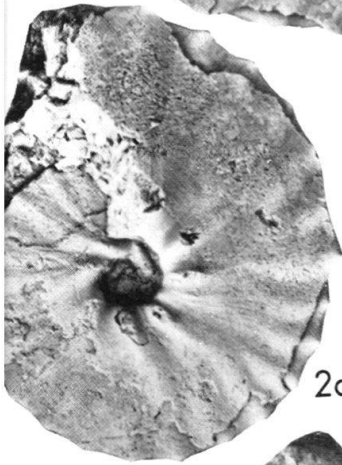
1a



1b



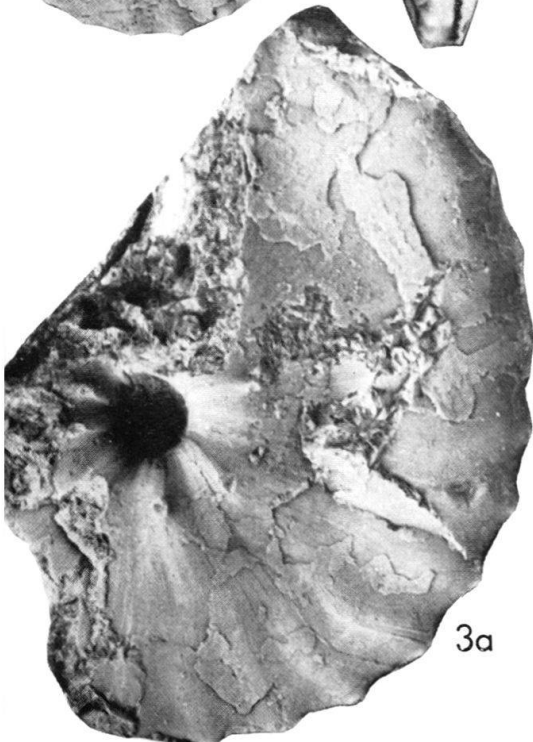
3b



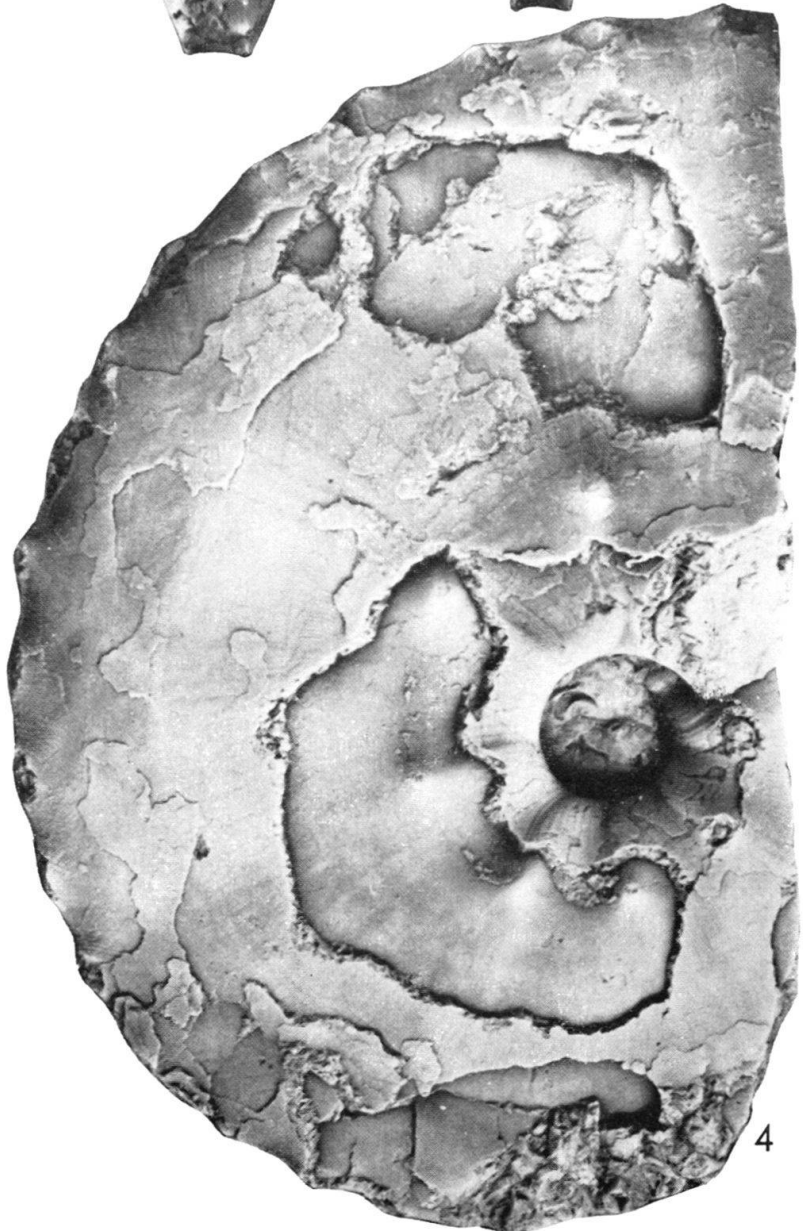
2a



2b



3a



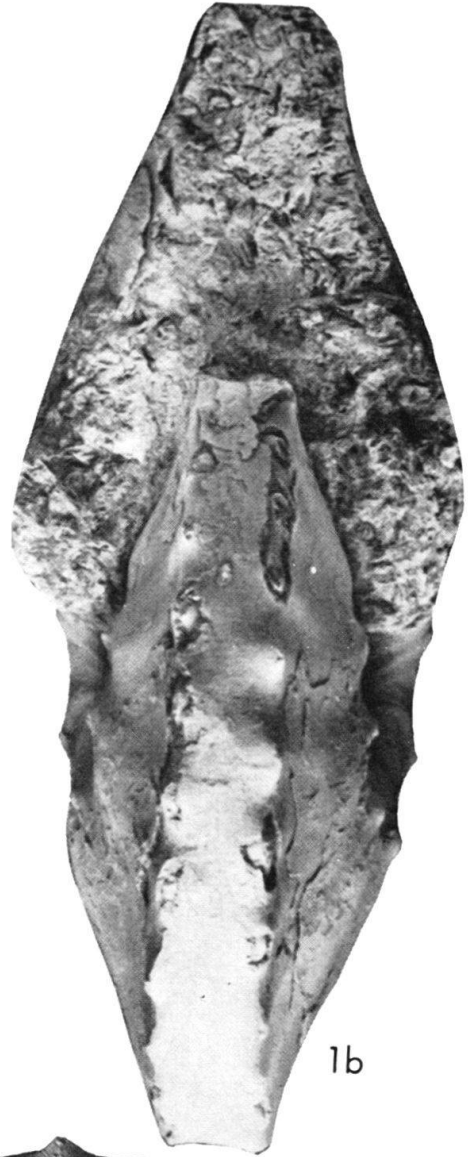
4

Tafel X

- Fig. 1a, b *Knemiceras andinum* n. sp., Holotypus, J 20660, Häuser Vano, auf $\frac{3}{4}$ verkleinert, p. 1047.
- Fig. 2a, b *Parengonoceras* aff. *barbacoense* n. sp., J 20683, La Aguada, auf $\frac{1}{2}$ verkleinert, p. 1044.
- Fig. 3 *Knemiceras andinum* n. sp., Paratypus, J 20670, La Aguada, auf $\frac{3}{4}$ verkleinert, p. 1048.



1a



1b



2a



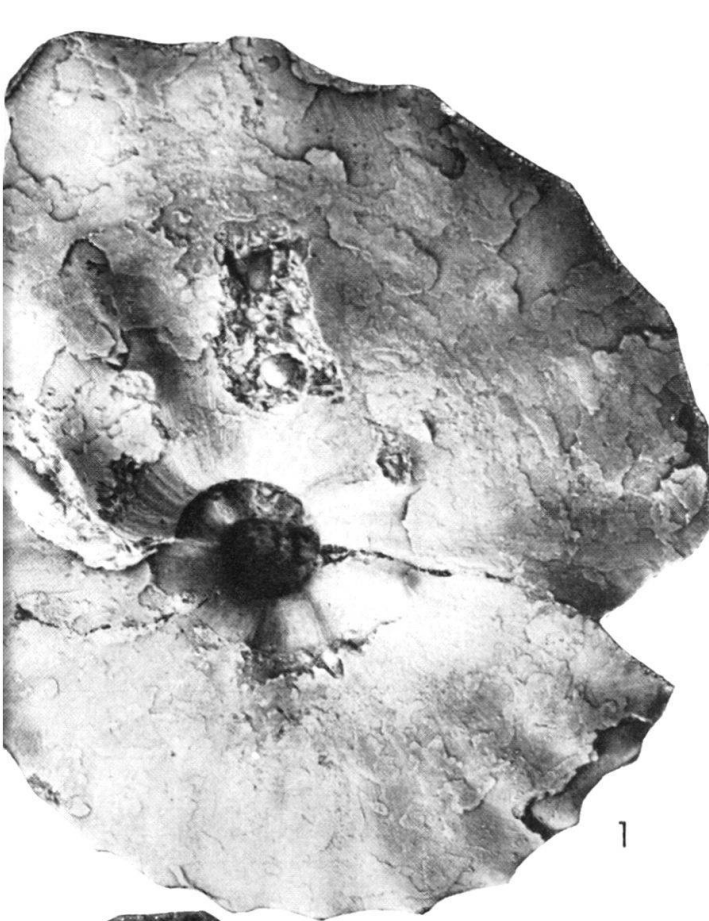
2b



3

Tafel XI

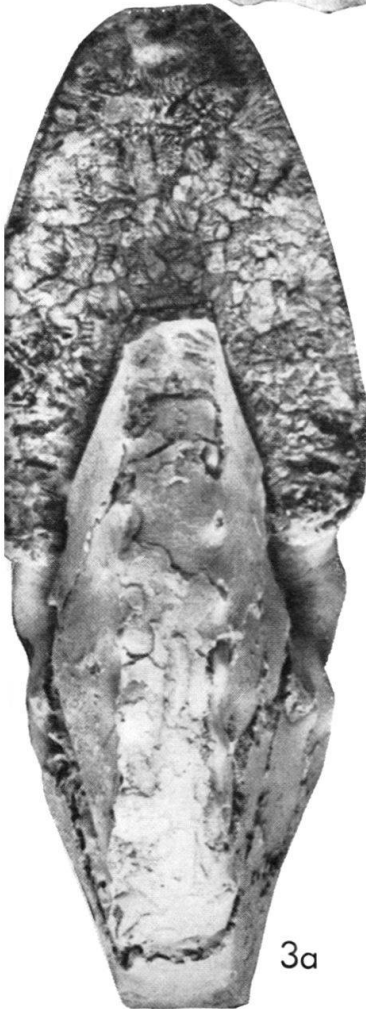
- Fig. 1 *Knemiceras* sp., aff. *compressum* HYATT, J 20669, Häuser Vano, nat. Gr., p. 1047.
- Fig. 2 *Knemiceras laraense* n. sp., Paratypus, J 20703, La Aguada, nat. Gr., p. 1051.
- Fig. 3a, b *Knemiceras* aff. *gabbi* HYATT, J 20701, Häuser Vano, auf $\frac{3}{4}$ verkleinert, p. 1048.



1



2



3a



3b

Tafel XII

- Fig. 1 *Knemiceras laraense* n. sp., Holotypus, J 20667, La Aguada, auf $\frac{3}{4}$ verkleinert, p. 1049.
- Fig. 2 *Knemiceras* sp., aff. *compressum* HYATT, J 20669, Häuser Vano, nat. Gr., p. 1047.
- Fig. 3a, b *Neophlycticeras madagascariense* (COLLIGNON), J 20737, La Aguada, nat. Gr., p. 1053.
- Fig. 4a–d *Neophlycticeras madagascariense* (COLLIGNON), J 20735, La Aguada; Fig. 3a–c nat. Gr.; Fig. 4d die 3 letzten Suturlinien, 2× vergrössert, p. 1053.
- Fig. 5a, b *Neophlycticeras madagascariense* (COLLIGNON), J 20736, La Aguada, nat. Gr., p. 1053.
- Fig. 6a–c *Neophlycticeras itierianum* (D'ORBIGNY), L 12783, Musée Géologique Lausanne, Perte-du-Rhône; Fig. 6a, b, nat. Gr.; Fig. 6c fünft- und viertletzte Suturlinien, 2× vergr., p. 1051.
- Fig. 7a, b *Neophlycticeras* cf. *brottianum* (D'ORBIGNY), J 20738, La Aguada; Fig. 7b Windungsquerschnitt am Ende des Phragmokons, nat. Gr., p. 1054.

Das Ende der Phragmokone wurde durch einen Pfeil angedeutet.

